

日新製鋼(株)市川研究所 ○福本博光 岸本敏江  
中村道夫 前北景彦

## 1 緒言

塗膜下腐食に関する塗膜側からの研究は多く、塗膜のイオン透過性、防錆塗料の作用など、様々な検討がなされている。これに対して、塗装原板の作用について検討した例は少ない。また、研究の多くは軟鋼板の前処理の影響を検討した例である。

そこで我々は、種々の鋼板を用いて、塗膜下腐食に及ぼす塗装原板の影響について検討した。

## 2 実験方法

塗装原板は軟鋼板・溶融亜鉛めっき鋼板・ステンレス鋼板(SUS304)を用いた。

試験片はポリエスチル系塗料、シリコンポリエスチル系塗料を塗布した後、焼付けで作成した。焼付け後の膜厚は約15μmである。

腐食実験は3%NaCl溶液中の定電位電解試験を行なった。設定電位はカソード型ふくれを強制的に発生させることを目的に自然電位-300mVとした。

塗膜下における金属の腐食挙動は分極曲線および分極抵抗を測定して比較検討した。

## 3 実験結果

(1) 定電位電解試験の結果、軟鋼板では局部的にふくれが生じていた。溶融亜鉛めっき鋼板では亜鉛層の粒界腐食に起因する亜鉛錆難が生じて写真1のように亜鉛が盛り上がってふくれ状態になっていた。ステンレス鋼では界面にH<sub>2</sub>O層が生じて塗膜の密着性が劣化していた。

(2) 分極曲線および分極抵抗(表1)の測定結果から①塗料の樹脂系によって分極特性に差が認められた。塗膜中のイオンの拡散速度に対応しており、図1のように塗膜中のCl<sup>-</sup>イオンの分布が樹脂によって明らかに異なっている。②塗装原板によって分極特性に差が認められた。軟鋼板・溶融亜鉛めっき鋼板では塗膜中にCl<sup>-</sup>イオンが検出されるが、ステンレス鋼では検出されないことから、この差は金属自体の分極抵抗と腐食電流にともなうイオンの移動との相互作用に起因していると考えている。

また、分極抵抗値から塗膜下の腐食環境が推定できることを考える。

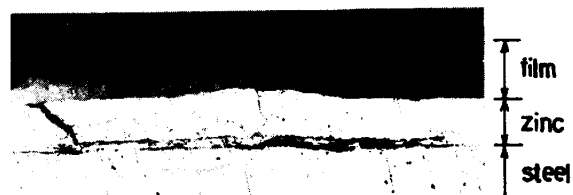


Photo 1. Corrosion under paint films for the galvanized steel in the potentiostatic test

Table 1. Polarization resistance of coating steels

Kind of coating	Metal	$\tau$ (m sec)	$C_p$ (F/cm <sup>2</sup> )	$R_p$ (A/cm <sup>2</sup> )	(R) (Ω)
Polyester (1)	Galvanized steel	42	$7.6 \times 10^{-8}$	$5.5 \times 10^5$	$5.7 \times 10^4$
Polyester (2)		10	$1.1 \times 10^{-7}$	$9.5 \times 10^4$	$6.8 \times 10^4$
Silicon polyester		150	$5.4 \times 10^{-8}$	$2.8 \times 10^6$	$2.5 \times 10^7$
Polyester (1)	Steel	40	$2.7 \times 10^{-8}$	$1.5 \times 10^6$	$8.6 \times 10^5$
	Galvanized steel	42	$7.6 \times 10^{-8}$	$5.5 \times 10^5$	$5.7 \times 10^4$
	Stainless steel	$1.2 \times 10^4$	$1.8 \times 10^{-6}$	$6.5 \times 10^6$	$5.0 \times 10^9$

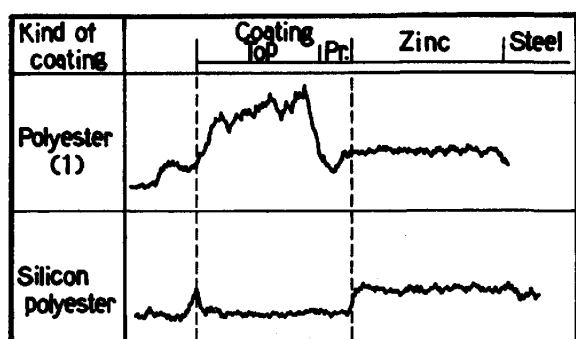


Fig. 1. EPMA line analysis of the coating galvanized steel